

## Preliminary datasheet

EconoPIM™3 模块采用第七代沟槽栅/场终止 IGBT7 和第七代发射极控制二极管 带有 PressFIT 压接管脚和温度检测 NTC

### 特性

- 电气特性
  - $V_{CES} = 1200\text{ V}$
  - $I_{C\text{nom}} = 75\text{ A} / I_{CRM} = 150\text{ A}$
  - 沟槽栅 IGBT7
  - 过载操作达  $175^\circ\text{C}$
  - 低  $V_{CESat}$
- 机械特性
  - 高功率循环和温度循环能力
  - 集成 NTC 温度传感器
  - 铜基板
  - PressFIT 压接技术
  - 标准封装
  - 低热阻的三氧化二铝  $\text{Al}_2\text{O}_3$  衬底



Typical appearance

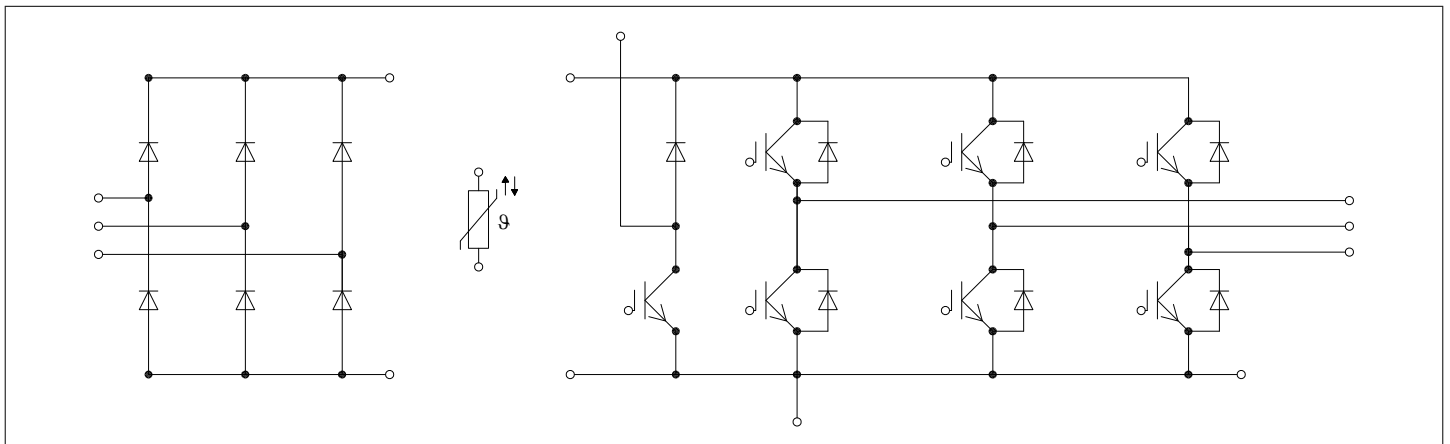
### 可选应用

- 辅助逆变器
- 电机传动
- 伺服驱动器

### 产品认证

- 根据 IEC 60747、60749 和 60068 标准的相关测试，符合工业应用的要求。

### 描述



## 内容

	描述.....	1
	特性.....	1
	可选应用.....	1
	产品认证.....	1
	内容.....	2
<b>1</b>	封装.....	3
<b>2</b>	<b>IGBT, 逆变器</b> .....	3
<b>3</b>	二极管, 逆变器.....	5
<b>4</b>	二极管, 整流器.....	6
<b>5</b>	<b>IGBT, 制动-斩波器</b> .....	7
<b>6</b>	二极管, 制动-斩波器.....	8
<b>7</b>	负温度系数热敏电阻.....	9
<b>8</b>	特征参数图表.....	10
<b>9</b>	电路拓扑图.....	16
<b>10</b>	封装尺寸.....	17
<b>11</b>	模块标签代码.....	18
	修订历史.....	19
	免责声明.....	20

## 1 封装

表 1 绝缘参数

特征参数	代号	标注或测试条件	数值	单位
绝缘测试电压	$V_{ISOL}$	RMS, $f = 50 \text{ Hz}$ , $t = 1 \text{ min}$	2.5	kV
模块基板材料			Cu	
内部绝缘		基本绝缘 (class 1, IEC 61140)	$Al_2O_3$	
爬电距离	$d_{Creep}$	端子至散热器	10.0	mm
电气间隙	$d_{Clear}$	端子至散热器	7.5	mm
相对电痕指数	$CTI$		>200	
相对温度指数 (电)	$RTI$	封装	140	°C

表 2 特征值

特征参数	代号	标注或测试条件		数值			单位
				最小值	典型值	最大值	
杂散电感, 模块	$L_{sCE}$				35		nH
模块引线电阻, 端子-芯片	$R_{AA'+CC'}$	$T_C = 25^\circ\text{C}$ , 每个开关			2.9		mΩ
模块引线电阻, 端子-芯片	$R_{CC'+EE'}$	$T_C = 25^\circ\text{C}$ , 每个开关			3.9		mΩ
储存温度	$T_{stg}$			-40		125	°C
模块安装的安装扭距	$M$	根据相应的应用手册进行安装	M5, 螺丝	3		6	Nm
重量	$G$				300		g

注: The current under continuous operation is limited to 50A rms per connector pin.

## 2 IGBT, 逆变器

表 3 最大标定值

特征参数	代号	标注或测试条件		数值	单位
集电极-发射极电压	$V_{CES}$		$T_{vj} = 25^\circ\text{C}$	1200	V
连续集电极直流电流	$I_{CDC}$	$T_{vj \max} = 175^\circ\text{C}$	$T_C = 100^\circ\text{C}$	75	A
集电极重复峰值电流	$I_{CRM}$	$t_p$ 受限于 $T_{vj \text{ op}}$		150	A
栅极-发射极峰值电压	$V_{GES}$			±20	V

表 4 特征值

特征参数	代号	标注或测试条件		数值			单位
				最小值	典型值	最大值	
集电极-发射极饱和电压	$V_{CE\ sat}$	$I_C = 75\ A, V_{GE} = 15\ V$	$T_{vj} = 25\ ^\circ C$		1.55	1.80	V
			$T_{vj} = 125\ ^\circ C$		1.69		
			$T_{vj} = 175\ ^\circ C$		1.77		
栅极阈值电压	$V_{GEth}$	$I_C = 1.7\ mA, V_{CE} = V_{GE}, T_{vj} = 25\ ^\circ C$		5.15	5.80	6.45	V
栅极电荷	$Q_G$	$V_{GE} = \pm 15\ V, V_{CE} = 600\ V$			1.25		$\mu C$
内部栅极电阻	$R_{Gint}$	$T_{vj} = 25\ ^\circ C$			2		$\Omega$
输入电容	$C_{ies}$	$f = 100\ kHz, T_{vj} = 25\ ^\circ C, V_{CE} = 25\ V, V_{GE} = 0\ V$			15.1		nF
反向传输电容	$C_{res}$	$f = 100\ kHz, T_{vj} = 25\ ^\circ C, V_{CE} = 25\ V, V_{GE} = 0\ V$			0.053		nF
集电极-发射极截止电流	$I_{CES}$	$V_{CE} = 1200\ V, V_{GE} = 0\ V$	$T_{vj} = 25\ ^\circ C$			0.013	mA
栅极-发射极漏电流	$I_{GES}$	$V_{CE} = 0\ V, V_{GE} = 20\ V, T_{vj} = 25\ ^\circ C$				100	nA
开通延迟时间(感性负载)	$t_{don}$	$I_C = 75\ A, V_{CE} = 600\ V,$ $V_{GE} = \pm 15\ V, R_{Gon} = 5.6\ \Omega$	$T_{vj} = 25\ ^\circ C$		0.145		$\mu s$
			$T_{vj} = 125\ ^\circ C$		0.157		
			$T_{vj} = 175\ ^\circ C$		0.167		
上升时间(感性负载)	$t_r$	$I_C = 75\ A, V_{CE} = 600\ V,$ $V_{GE} = \pm 15\ V, R_{Gon} = 5.6\ \Omega$	$T_{vj} = 25\ ^\circ C$		0.060		$\mu s$
			$T_{vj} = 125\ ^\circ C$		0.064		
			$T_{vj} = 175\ ^\circ C$		0.066		
关断延迟时间(感性负载)	$t_{doff}$	$I_C = 75\ A, V_{CE} = 600\ V,$ $V_{GE} = \pm 15\ V, R_{Goff} = 5.6\ \Omega$	$T_{vj} = 25\ ^\circ C$		0.289		$\mu s$
			$T_{vj} = 125\ ^\circ C$		0.372		
			$T_{vj} = 175\ ^\circ C$		0.424		
下降时间(感性负载)	$t_f$	$I_C = 75\ A, V_{CE} = 600\ V,$ $V_{GE} = \pm 15\ V, R_{Goff} = 5.6\ \Omega$	$T_{vj} = 25\ ^\circ C$		0.112		$\mu s$
			$T_{vj} = 125\ ^\circ C$		0.216		
			$T_{vj} = 175\ ^\circ C$		0.281		
开通损耗能量(每脉冲)	$E_{on}$	$I_C = 75\ A, V_{CE} = 600\ V,$ $L_\sigma = 35\ nH, V_{GE} = \pm 15\ V,$ $R_{Gon} = 5.6\ \Omega, di/dt = 910$ $A/\mu s (T_{vj} = 175\ ^\circ C)$	$T_{vj} = 25\ ^\circ C$		9.09		mJ
			$T_{vj} = 125\ ^\circ C$		11.8		
			$T_{vj} = 175\ ^\circ C$		13.4		
关断损耗能量(每脉冲)	$E_{off}$	$I_C = 75\ A, V_{CE} = 600\ V,$ $L_\sigma = 35\ nH, V_{GE} = \pm 15\ V,$ $R_{Goff} = 5.6\ \Omega, dv/dt =$ $3200\ V/\mu s (T_{vj} = 175\ ^\circ C)$	$T_{vj} = 25\ ^\circ C$		5		mJ
			$T_{vj} = 125\ ^\circ C$		8.09		
			$T_{vj} = 175\ ^\circ C$		9.74		

(待续)

表 4 (续) 特征值

特征参数	代号	标注或测试条件	数值			单位
			最小值	典型值	最大值	
短路数据	$I_{SC}$	$V_{GE} \leq 15 \text{ V}, V_{CC} = 800 \text{ V}, V_{CEmax} = V_{CES} - L_{SCE} * di/dt$	$t_p \leq 8 \mu\text{s}, T_{vj} = 150 \text{ }^\circ\text{C}$	260		A
			$t_p \leq 7 \mu\text{s}, T_{vj} = 175 \text{ }^\circ\text{C}$	250		
结-外壳热阻	$R_{thJC}$	每个 IGBT			0.486	K/W
外壳-散热器热阻	$R_{thCH}$	每个 IGBT, $\lambda_{grease} = 1 \text{ W}/(\text{m}^2\text{K})$		0.0706		K/W
允许开关的温度范围	$T_{vjop}$		-40		175	$^\circ\text{C}$

注:  $T_{vjop} > 150^\circ\text{C}$  is allowed for operation at overload conditions. For detailed specifications, please refer to AN 2018-14.

### 3 二极管,逆变器

表 5 最大标定值

特征参数	代号	标注或测试条件	数值	单位	
反向重复峰值电压	$V_{RRM}$	$T_{vj} = 25 \text{ }^\circ\text{C}$	1200	V	
连续正向直流电流	$I_F$		75	A	
正向重复峰值电流	$I_{FRM}$	$t_p = 1 \text{ ms}$	150	A	
I2t-值	$I^2t$	$t_p = 10 \text{ ms}, V_R = 0 \text{ V}$	$T_{vj} = 125 \text{ }^\circ\text{C}$	820	$\text{A}^2\text{s}$
			$T_{vj} = 175 \text{ }^\circ\text{C}$	630	

表 6 特征值

特征参数	代号	标注或测试条件	数值			单位
			最小值	典型值	最大值	
正向电压	$V_F$	$I_F = 75 \text{ A}, V_{GE} = 0 \text{ V}$	$T_{vj} = 25 \text{ }^\circ\text{C}$	1.72	2.10	V
			$T_{vj} = 125 \text{ }^\circ\text{C}$	1.59		
			$T_{vj} = 175 \text{ }^\circ\text{C}$	1.52		
反向恢复峰值电流	$I_{RM}$	$V_R = 600 \text{ V}, I_F = 75 \text{ A}, V_{GE} = -15 \text{ V}, -di_F/dt = 910 \text{ A}/\mu\text{s} (T_{vj} = 175 \text{ }^\circ\text{C})$	$T_{vj} = 25 \text{ }^\circ\text{C}$	32		A
			$T_{vj} = 125 \text{ }^\circ\text{C}$	43		
			$T_{vj} = 175 \text{ }^\circ\text{C}$	50		
恢复电荷	$Q_r$	$V_R = 600 \text{ V}, I_F = 75 \text{ A}, V_{GE} = -15 \text{ V}, -di_F/dt = 910 \text{ A}/\mu\text{s} (T_{vj} = 175 \text{ }^\circ\text{C})$	$T_{vj} = 25 \text{ }^\circ\text{C}$	4.82		$\mu\text{C}$
			$T_{vj} = 125 \text{ }^\circ\text{C}$	10.2		
			$T_{vj} = 175 \text{ }^\circ\text{C}$	13.7		

(待续)

表 6 (续) 特征值

特征参数	代号	标注或测试条件		数值			单位
				最小值	典型值	最大值	
反向恢复损耗 (每脉冲)	$E_{rec}$	$V_R = 600\text{ V}, I_F = 75\text{ A},$ $V_{GE} = -15\text{ V}, -di_F/dt = 910$ $\text{A}/\mu\text{s} (T_{vj} = 175\text{ }^\circ\text{C})$	$T_{vj} = 25\text{ }^\circ\text{C}$		1.32		mJ
			$T_{vj} = 125\text{ }^\circ\text{C}$		3.09		
			$T_{vj} = 175\text{ }^\circ\text{C}$		4.36		
结-外壳热阻	$R_{thJC}$	每个二极管				0.728	K/W
外壳-散热器热阻	$R_{thCH}$	每个二极管, $\lambda_{grease} = 1\text{ W}/(\text{m}^2\text{K})$			0.0871		K/W
允许开关的温度范围	$T_{vj,op}$			-40		175	$^\circ\text{C}$

注:  $T_{vj,op} > 150\text{ }^\circ\text{C}$  is allowed for operation at overload conditions. For detailed specifications, please refer to AN 2018-14.

## 4 二极管,整流器

表 7 最大标定值

特征参数	代号	标注或测试条件		数值	单位
反向重复峰值电压	$V_{RRM}$	$T_{vj} = 25\text{ }^\circ\text{C}$		1600	V
最大正向均方根电流(每芯片)	$I_{FRMSM}$	$T_C = 100\text{ }^\circ\text{C}$		95	A
最大整流器输出均方根电流	$I_{RMSM}$	$T_C = 100\text{ }^\circ\text{C}$		150	A
正向浪涌电流	$I_{FSM}$	$t_p = 10\text{ ms}$	$T_{vj} = 25\text{ }^\circ\text{C}$	720	A
			$T_{vj} = 150\text{ }^\circ\text{C}$	565	
I2t-值	$I^2t$	$t_p = 10\text{ ms}$	$T_{vj} = 25\text{ }^\circ\text{C}$	2590	$\text{A}^2\text{s}$
			$T_{vj} = 150\text{ }^\circ\text{C}$	1600	

表 8 特征值

特征参数	代号	标注或测试条件		数值			单位
				最小值	典型值	最大值	
正向电压	$V_F$	$I_F = 75\text{ A}$	$T_{vj} = 150\text{ }^\circ\text{C}$		1.00		V
反向电流	$I_r$	$T_{vj} = 150\text{ }^\circ\text{C}, V_R = 1600\text{ V}$			1		mA
结-外壳热阻	$R_{thJC}$	每个二极管				0.602	K/W
外壳-散热器热阻	$R_{thCH}$	每个二极管, $\lambda_{grease} = 1\text{ W}/(\text{m}^2\text{K})$			0.0770		K/W
允许开关的温度范围	$T_{vj,op}$			-40		150	$^\circ\text{C}$

## 5 IGBT, 制动-斩波器

表 9 最大标定值

特征参数	代号	标注或测试条件		数值	单位
集电极-发射极电压	$V_{CES}$		$T_{vj} = 25\text{ °C}$	1200	V
连续集电极直流电流	$I_{CDC}$	$T_{vj\ max} = 175\text{ °C}$	$T_C = 110\text{ °C}$	50	A
集电极重复峰值电流	$I_{CRM}$	$t_p$ 受限于 $T_{vj\ op}$		100	A
栅极-发射极峰值电压	$V_{GES}$			±20	V

表 10 特征值

特征参数	代号	标注或测试条件		数值			单位
				最小值	典型值	最大值	
集电极-发射极饱和电压	$V_{CE\ sat}$	$I_C = 50\text{ A}, V_{GE} = 15\text{ V}$	$T_{vj} = 25\text{ °C}$		1.50	1.80	V
			$T_{vj} = 125\text{ °C}$		1.64		
			$T_{vj} = 175\text{ °C}$		1.72		
栅极阈值电压	$V_{Geth}$	$I_C = 1.28\text{ mA}, V_{CE} = V_{GE}, T_{vj} = 25\text{ °C}$		5.15	5.80	6.45	V
栅极电荷	$Q_G$	$V_{GE} = \pm 15\text{ V}, V_{CE} = 600\text{ V}$			0.92		μC
内部栅极电阻	$R_{Gint}$	$T_{vj} = 25\text{ °C}$			0		Ω
输入电容	$C_{ies}$	$f = 100\text{ kHz}, T_{vj} = 25\text{ °C}, V_{CE} = 25\text{ V}, V_{GE} = 0\text{ V}$			11.1		nF
反向传输电容	$C_{res}$	$f = 100\text{ kHz}, T_{vj} = 25\text{ °C}, V_{CE} = 25\text{ V}, V_{GE} = 0\text{ V}$			0.039		nF
集电极-发射极截止电流	$I_{CES}$	$V_{CE} = 1200\text{ V}, V_{GE} = 0\text{ V}$	$T_{vj} = 25\text{ °C}$			0.0062	mA
栅极-发射极漏电流	$I_{GES}$	$V_{CE} = 0\text{ V}, V_{GE} = 20\text{ V}, T_{vj} = 25\text{ °C}$				100	nA
开通延迟时间(感性负载)	$t_{don}$	$I_C = 50\text{ A}, V_{CE} = 600\text{ V}, V_{GE} = \pm 15\text{ V}, R_{Gon} = 7.5\ \Omega$	$T_{vj} = 25\text{ °C}$		0.052		μs
			$T_{vj} = 125\text{ °C}$		0.059		
			$T_{vj} = 175\text{ °C}$		0.060		
上升时间(感性负载)	$t_r$	$I_C = 50\text{ A}, V_{CE} = 600\text{ V}, V_{GE} = \pm 15\text{ V}, R_{Gon} = 7.5\ \Omega$	$T_{vj} = 25\text{ °C}$		0.060		μs
			$T_{vj} = 125\text{ °C}$		0.062		
			$T_{vj} = 175\text{ °C}$		0.064		
关断延迟时间(感性负载)	$t_{doff}$	$I_C = 50\text{ A}, V_{CE} = 600\text{ V}, V_{GE} = \pm 15\text{ V}, R_{Goff} = 7.5\ \Omega$	$T_{vj} = 25\text{ °C}$		0.269		μs
			$T_{vj} = 125\text{ °C}$		0.365		
			$T_{vj} = 175\text{ °C}$		0.404		
下降时间(感性负载)	$t_f$	$I_C = 50\text{ A}, V_{CE} = 600\text{ V}, V_{GE} = \pm 15\text{ V}, R_{Goff} = 7.5\ \Omega$	$T_{vj} = 25\text{ °C}$		0.110		μs
			$T_{vj} = 125\text{ °C}$		0.207		
			$T_{vj} = 175\text{ °C}$		0.269		

(待续)

表 10 (续) 特征值

特征参数	代号	标注或测试条件	数值			单位
			最小值	典型值	最大值	
开通损耗能量 (每脉冲)	$E_{on}$	$I_C = 50 \text{ A}, V_{CE} = 600 \text{ V},$ $L_\sigma = 35 \text{ nH}, V_{GE} = \pm 15 \text{ V},$ $R_{Gon} = 7.5 \Omega, di/dt = 625$ $\text{A}/\mu\text{s} (T_{vj} = 175 \text{ }^\circ\text{C})$	$T_{vj} = 25 \text{ }^\circ\text{C}$	5.36		mJ
			$T_{vj} = 125 \text{ }^\circ\text{C}$	6.34		
			$T_{vj} = 175 \text{ }^\circ\text{C}$	6.79		
关断损耗能量 (每脉冲)	$E_{off}$	$I_C = 50 \text{ A}, V_{CE} = 600 \text{ V},$ $L_\sigma = 35 \text{ nH}, V_{GE} = \pm 15 \text{ V},$ $R_{Goff} = 7.5 \Omega, dv/dt =$ $3045 \text{ V}/\mu\text{s} (T_{vj} = 175 \text{ }^\circ\text{C})$	$T_{vj} = 25 \text{ }^\circ\text{C}$	3.41		mJ
			$T_{vj} = 125 \text{ }^\circ\text{C}$	5.36		
			$T_{vj} = 175 \text{ }^\circ\text{C}$	6.57		
短路数据	$I_{SC}$	$V_{GE} \leq 15 \text{ V}, V_{CC} = 800 \text{ V},$ $V_{CEmax} = V_{CES} - L_{sCE} * di/dt$	$t_p \leq 8 \mu\text{s},$ $T_{vj} = 150 \text{ }^\circ\text{C}$	190		A
			$t_p \leq 7 \mu\text{s},$ $T_{vj} = 175 \text{ }^\circ\text{C}$	180		
结-外壳热阻	$R_{thJC}$	每个 IGBT			0.598	K/W
外壳-散热器热阻	$R_{thCH}$	每个 IGBT, $\lambda_{grease} = 1 \text{ W}/(\text{m}^2\text{K})$		0.0764		K/W
允许开关的温度范围	$T_{vj op}$		-40		175	$^\circ\text{C}$

注:  $T_{vj op} > 150 \text{ }^\circ\text{C}$  is allowed for operation at overload conditions. For detailed specifications, please refer to AN 2018-14.

## 6 二极管，制动-斩波器

表 11 最大标定值

特征参数	代号	标注或测试条件	数值	单位	
反向重复峰值电压	$V_{RRM}$	$T_{vj} = 25 \text{ }^\circ\text{C}$	1200	V	
连续正向直流电流	$I_F$		25	A	
正向重复峰值电流	$I_{FRM}$	$t_p = 1 \text{ ms}$	50	A	
I2t-值	$I^2t$	$t_p = 10 \text{ ms}, V_R = 0 \text{ V}$	$T_{vj} = 125 \text{ }^\circ\text{C}$	80	$\text{A}^2\text{s}$
			$T_{vj} = 175 \text{ }^\circ\text{C}$	70	

表 12 特征值

特征参数	代号	标注或测试条件	数值			单位
			最小值	典型值	最大值	
正向电压	$V_F$	$I_F = 25 \text{ A}$	$T_{vj} = 25 \text{ }^\circ\text{C}$	1.83	2.30	V
			$T_{vj} = 125 \text{ }^\circ\text{C}$	1.70		
			$T_{vj} = 150 \text{ }^\circ\text{C}$	1.63		

(待续)



表 12 (续) 特征值

特征参数	代号	标注或测试条件	数值			单位
			最小值	典型值	最大值	
反向恢复峰值电流	$I_{RM}$	$V_R = 600\text{ V}, I_F = 25\text{ A},$ $V_{GE} = -15\text{ V}, -di_F/dt = 685$ $\text{A}/\mu\text{s} (T_{vj} = 175\text{ }^\circ\text{C})$	$T_{vj} = 25\text{ }^\circ\text{C}$	16		A
			$T_{vj} = 125\text{ }^\circ\text{C}$	21		
			$T_{vj} = 175\text{ }^\circ\text{C}$	23		
恢复电荷	$Q_r$	$V_R = 600\text{ V}, I_F = 25\text{ A},$ $V_{GE} = -15\text{ V}, -di_F/dt = 685$ $\text{A}/\mu\text{s} (T_{vj} = 175\text{ }^\circ\text{C})$	$T_{vj} = 25\text{ }^\circ\text{C}$	1.67		$\mu\text{C}$
			$T_{vj} = 125\text{ }^\circ\text{C}$	3.26		
			$T_{vj} = 175\text{ }^\circ\text{C}$	4.23		
反向恢复损耗 (每脉冲)	$E_{rec}$	$V_R = 600\text{ V}, I_F = 25\text{ A},$ $V_{GE} = -15\text{ V}, -di_F/dt = 685$ $\text{A}/\mu\text{s} (T_{vj} = 175\text{ }^\circ\text{C})$	$T_{vj} = 25\text{ }^\circ\text{C}$	0.54		mJ
			$T_{vj} = 125\text{ }^\circ\text{C}$	1.17		
			$T_{vj} = 175\text{ }^\circ\text{C}$	1.58		
结-外壳热阻	$R_{thJC}$	每个二极管			1.43	K/W
外壳-散热器热阻	$R_{thCH}$	每个二极管, $\lambda_{grease} = 1\text{ W}/(\text{m}^2\text{K})$		0.182		K/W
允许开关的温度范围	$T_{vj\text{ op}}$		-40		175	$^\circ\text{C}$

注:  $T_{vj\text{ op}} > 150\text{ }^\circ\text{C}$  is allowed for operation at overload conditions. For detailed specifications, please refer to AN 2018-14.

## 7 负温度系数热敏电阻

表 13 特征值

特征参数	代号	标注或测试条件	数值			单位
			最小值	典型值	最大值	
额定电阻值	$R_{25}$	$T_{NTC} = 25\text{ }^\circ\text{C}$		5		k $\Omega$
$R_{100}$ 偏差	$\Delta R/R$	$T_{NTC} = 100\text{ }^\circ\text{C}, R_{100} = 493\text{ }\Omega$	-5		5	%
耗散功率	$P_{25}$	$T_{NTC} = 25\text{ }^\circ\text{C}$			20	mW
B-值	$B_{25/50}$	$R_2 = R_{25} \exp[B_{25/50}(1/T_2 - 1/(298,15\text{ K}))]$		3375		K
B-值	$B_{25/80}$	$R_2 = R_{25} \exp[B_{25/80}(1/T_2 - 1/(298,15\text{ K}))]$		3411		K
B-值	$B_{25/100}$	$R_2 = R_{25} \exp[B_{25/100}(1/T_2 - 1/(298,15\text{ K}))]$		3433		K

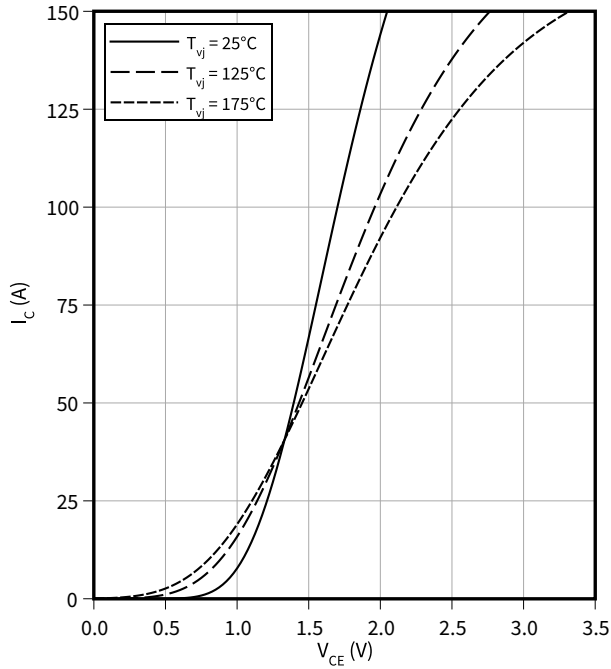
注: 根据应用手册标定

8 特征参数图表

输出特性 (典型), IGBT, 逆变器

$I_C = f(V_{CE})$

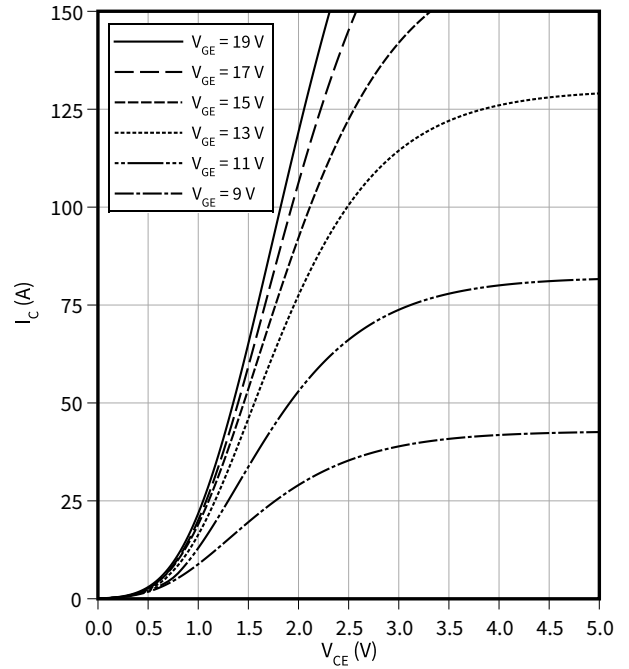
$V_{GE} = 15\text{ V}$



输出特性 (典型), IGBT, 逆变器

$I_C = f(V_{CE})$

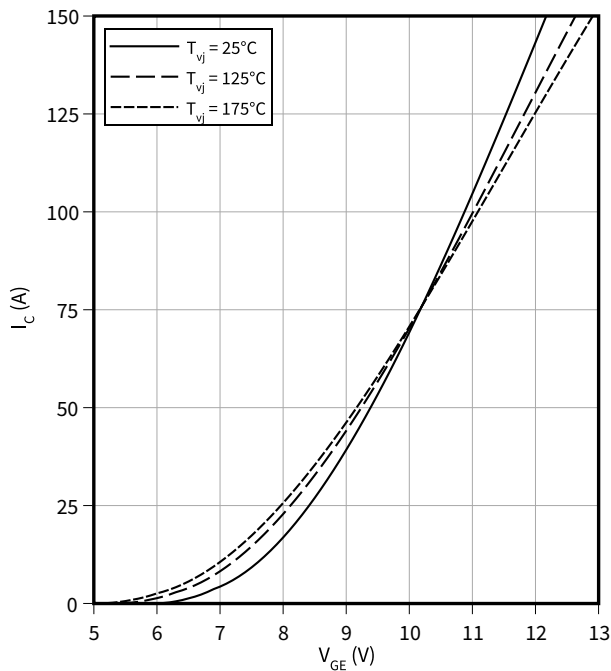
$T_{vj} = 175\text{ °C}$



传输特性 (典型), IGBT, 逆变器

$I_C = f(V_{GE})$

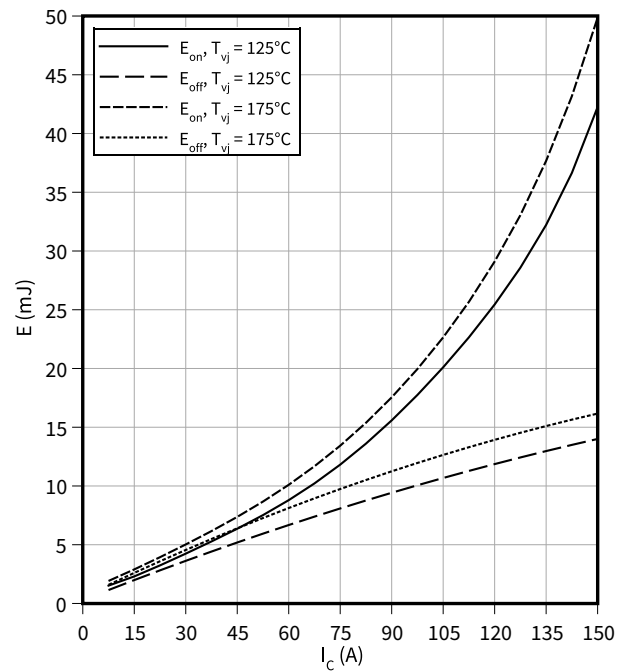
$V_{CE} = 20\text{ V}$



开关损耗 (典型), IGBT, 逆变器

$E = f(I_C)$

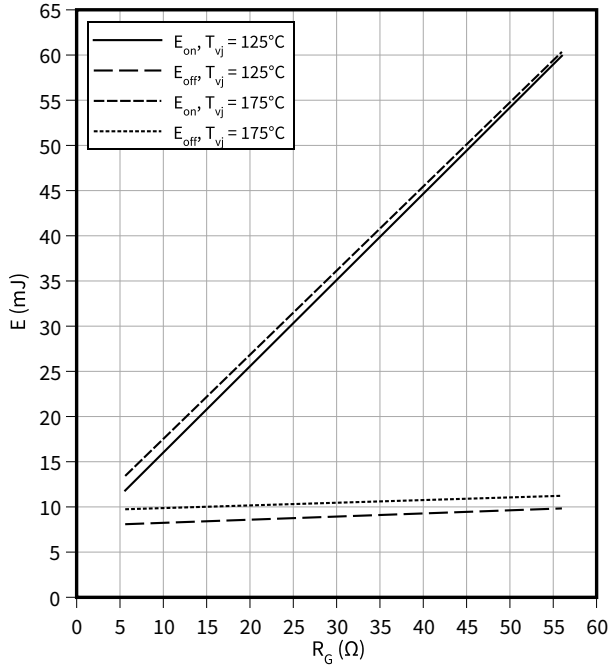
$R_{Goff} = 5.6\ \Omega, R_{Gon} = 5.6\ \Omega, V_{GE} = \pm 15\text{ V}, V_{CE} = 600\text{ V}$



开关损耗 (典型), IGBT, 逆变器

$E = f(R_G)$

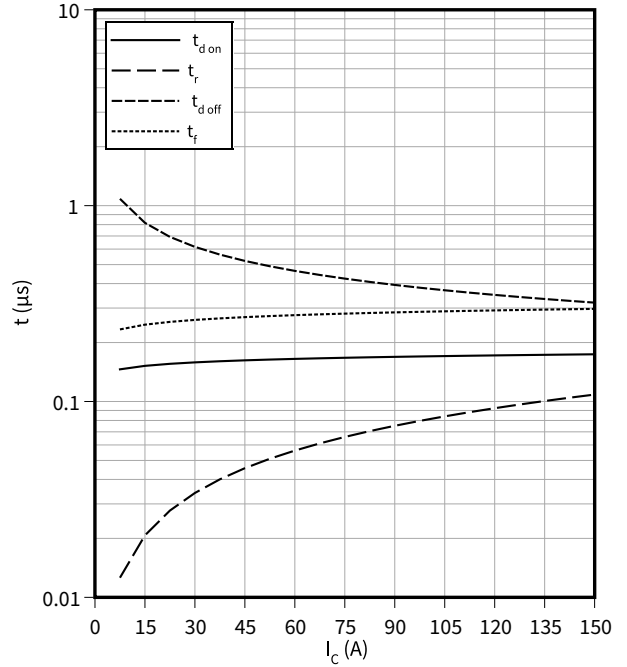
$V_{GE} = \pm 15 \text{ V}, I_C = 75 \text{ A}, V_{CE} = 600 \text{ V}$



开关时间 (典型), IGBT, 逆变器

$t = f(I_C)$

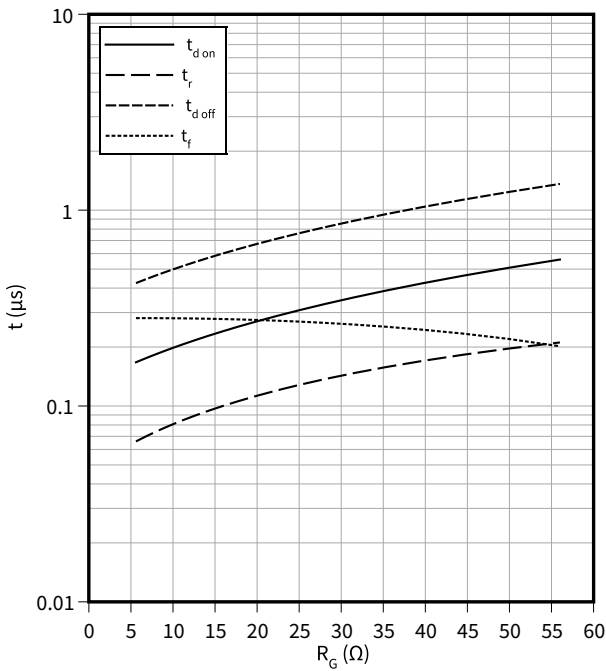
$R_{Goff} = 5.6 \Omega, R_{Gon} = 5.6 \Omega, V_{GE} = \pm 15 \text{ V}, V_{CE} = 600 \text{ V}, T_{vj} = 175 \text{ °C}$



开关时间 (典型), IGBT, 逆变器

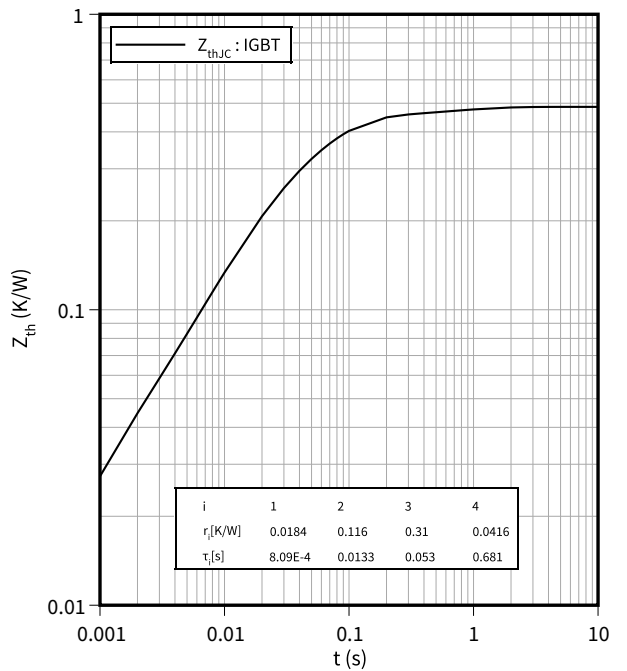
$t = f(R_G)$

$V_{GE} = \pm 15 \text{ V}, I_C = 75 \text{ A}, V_{CE} = 600 \text{ V}, T_{vj} = 175 \text{ °C}$



瞬态热阻抗, IGBT, 逆变器

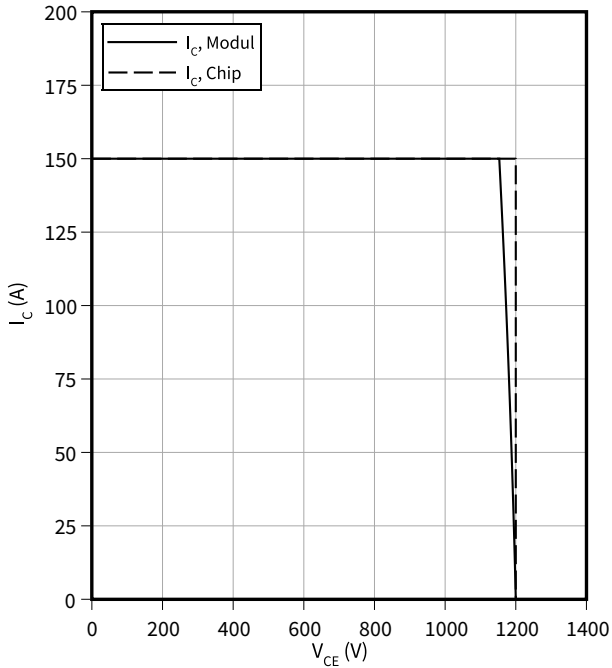
$Z_{th} = f(t)$



反偏安全工作区 (RBSOA), IGBT, 逆变器

$I_C = f(V_{CE})$

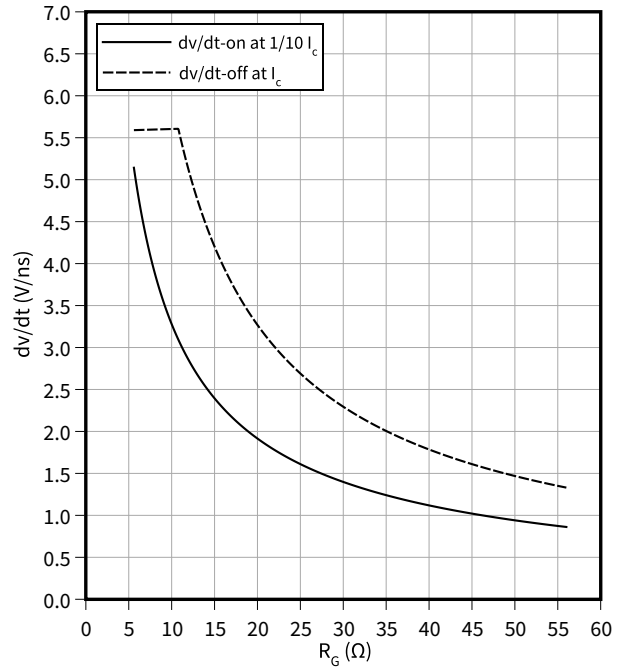
$R_{Goff} = 5.6 \Omega, V_{GE} = \pm 15 V, T_{vj} = 175 \text{ }^\circ\text{C}$



电压变化斜率 (典型), IGBT, 逆变器

$dv/dt = f(R_G)$

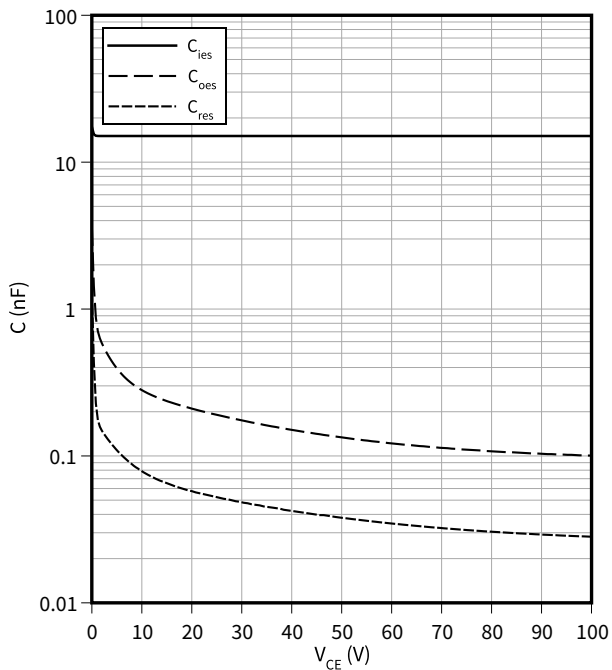
$I_C = 75 A, V_{CE} = 600 V, V_{GE} = \pm 15 V, T_{vj} = 25 \text{ }^\circ\text{C}$



电容特性 (典型), IGBT, 逆变器

$C = f(V_{CE})$

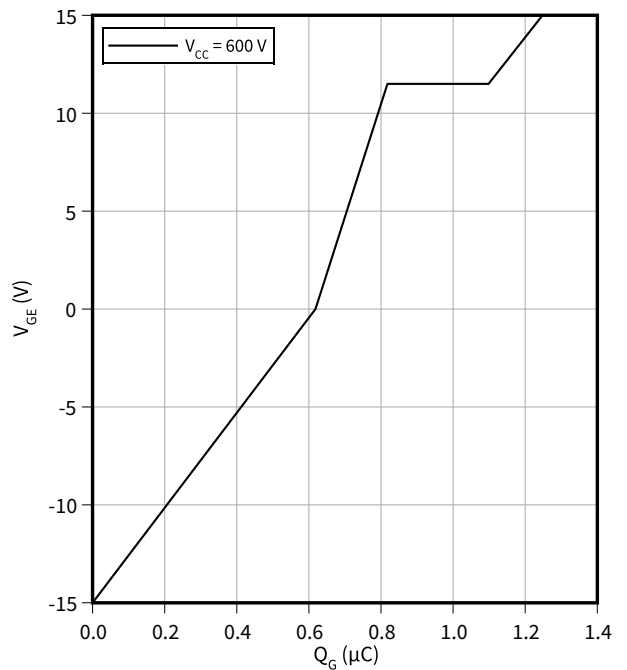
$f = 100 \text{ kHz}, V_{GE} = 0 V, T_{vj} = 25 \text{ }^\circ\text{C}$



栅极电荷特性 (典型), IGBT, 逆变器

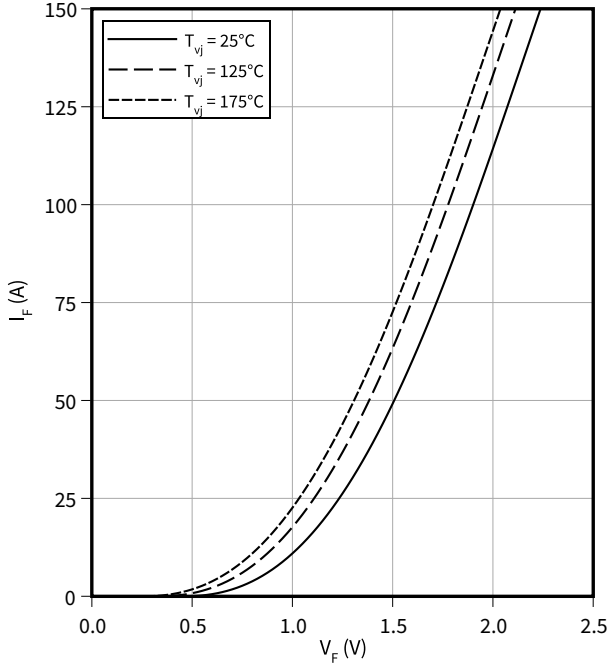
$V_{GE} = f(Q_G)$

$I_C = 75 A, T_{vj} = 25 \text{ }^\circ\text{C}$



正向特性 (典型), 二极管, 逆变器

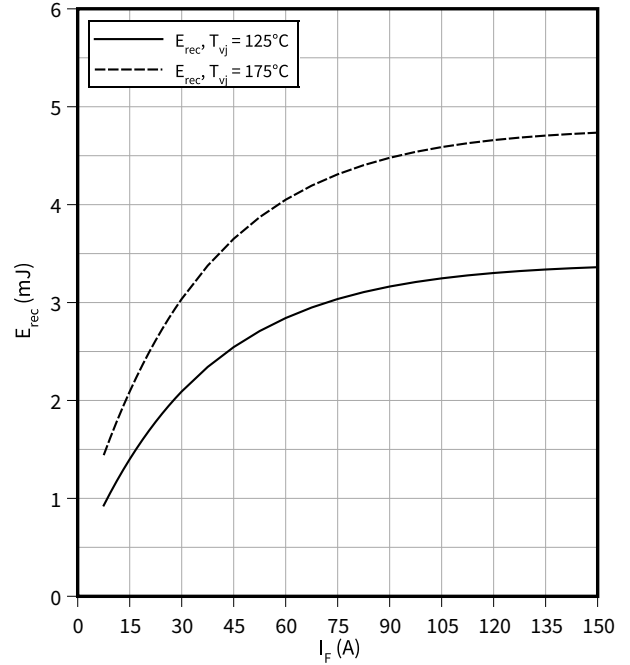
$I_F = f(V_F)$



开关损耗 (典型), 二极管, 逆变器

$E_{rec} = f(I_F)$

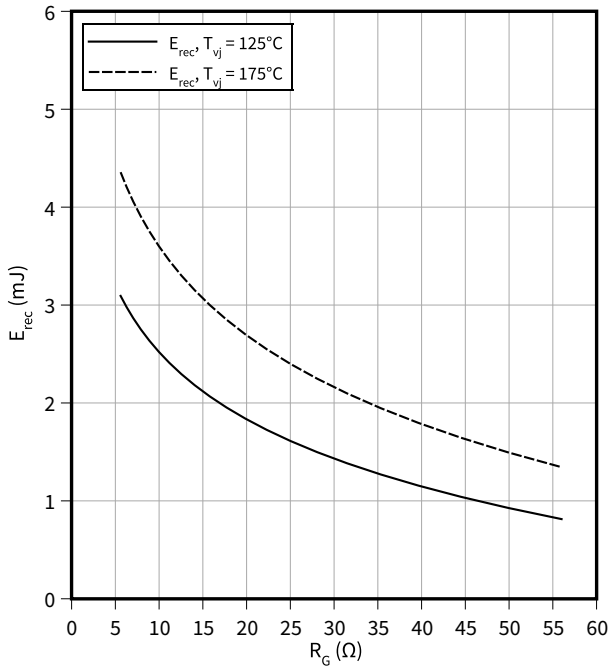
$R_{Gon} = 5.6 \Omega, V_R = 600 V$



开关损耗 (典型), 二极管, 逆变器

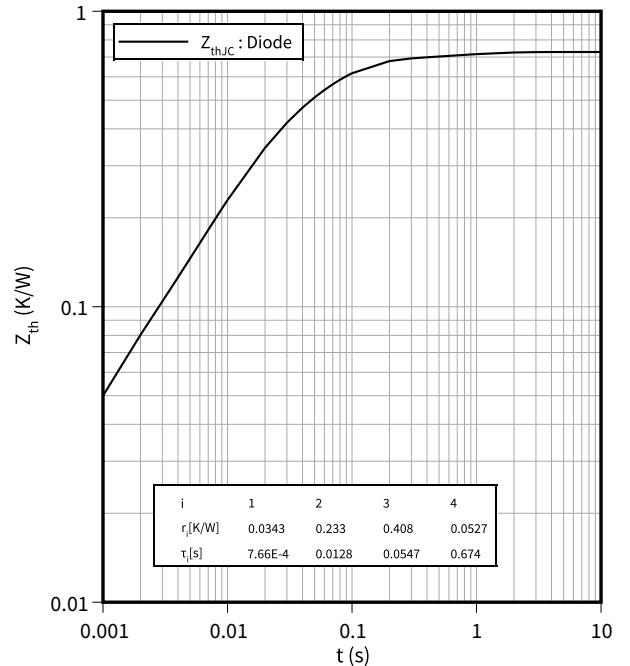
$E_{rec} = f(R_G)$

$I_F = 75 A, V_R = 600 V$



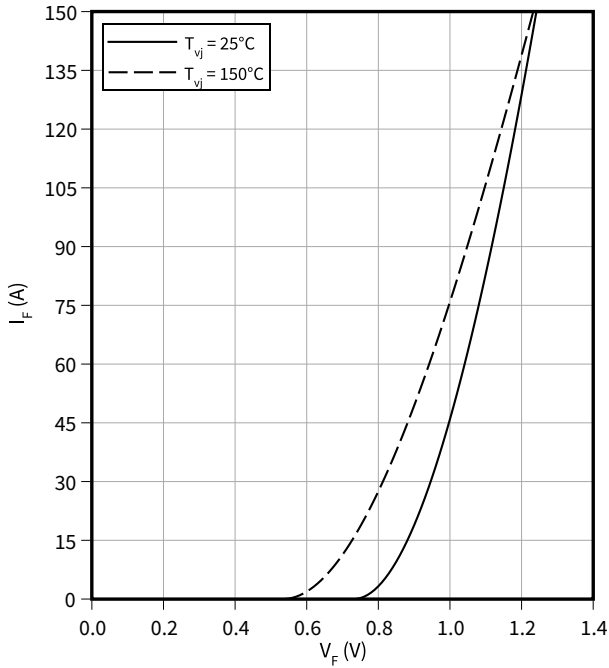
瞬态热阻抗, 二极管, 逆变器

$Z_{th} = f(t)$



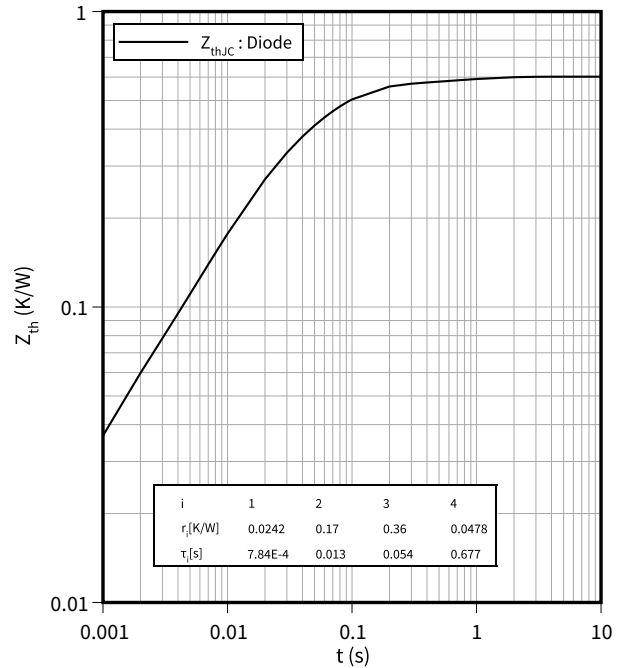
正向特性 (典型), 二极管, 整流器

$$I_F = f(V_F)$$



瞬态热阻抗, 二极管, 整流器

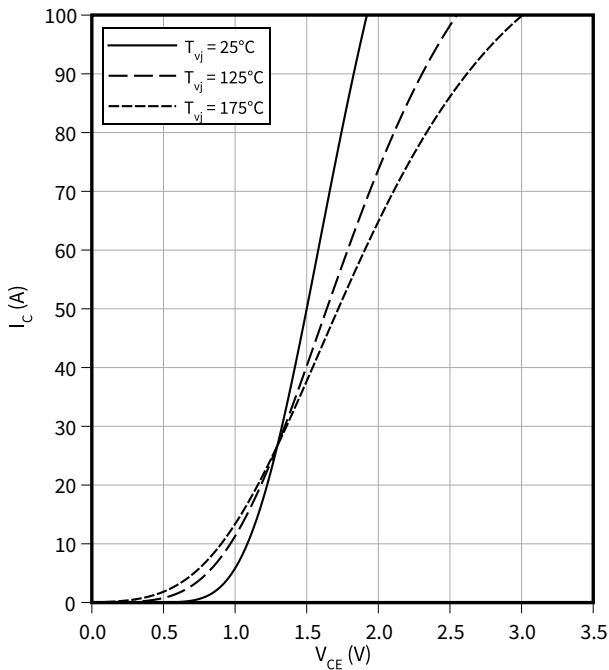
$$Z_{th} = f(t)$$



输出特性 (典型), IGBT, 制动-斩波器

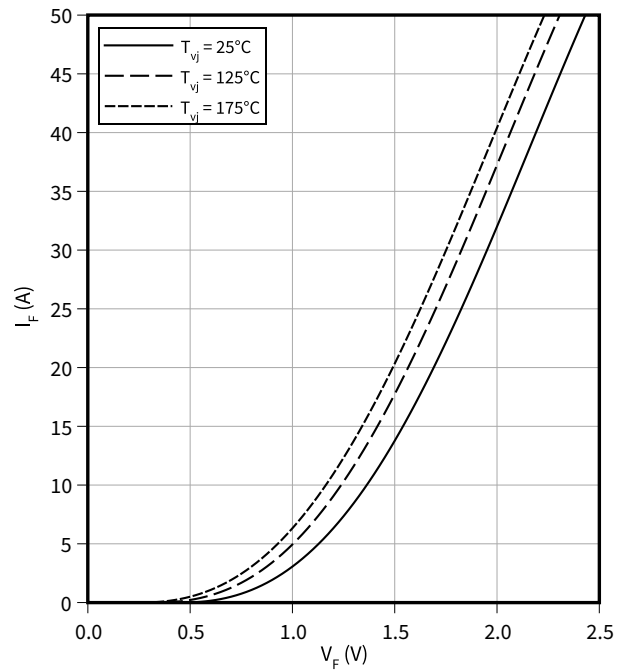
$$I_C = f(V_{CE})$$

$$V_{GE} = 15 \text{ V}$$



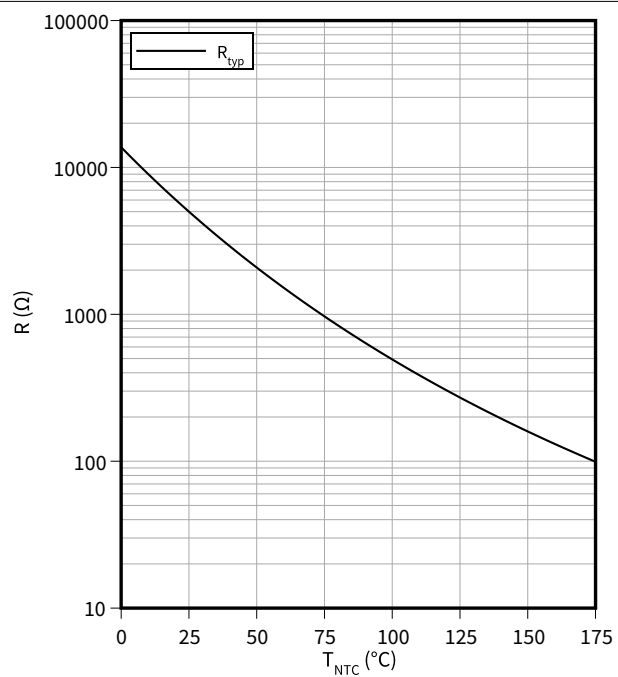
正向特性 (典型), 二极管, 制动-斩波器

$$I_F = f(V_F)$$



## 温度特性, 负温度系数热敏电阻

$$R = f(T_{\text{NTC}})$$



### 9 电路拓扑图

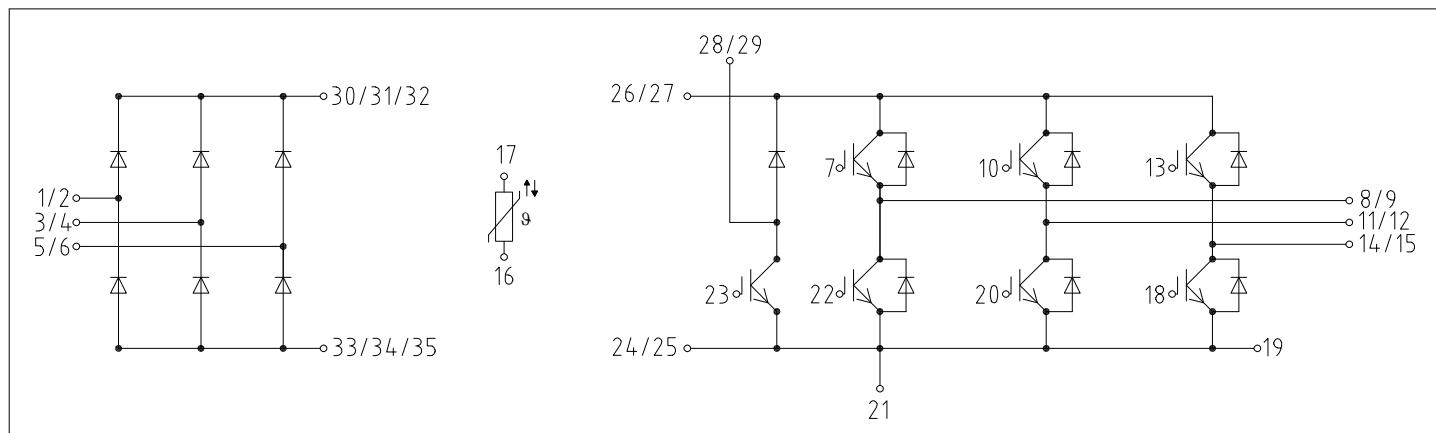


图 1



10 封装尺寸

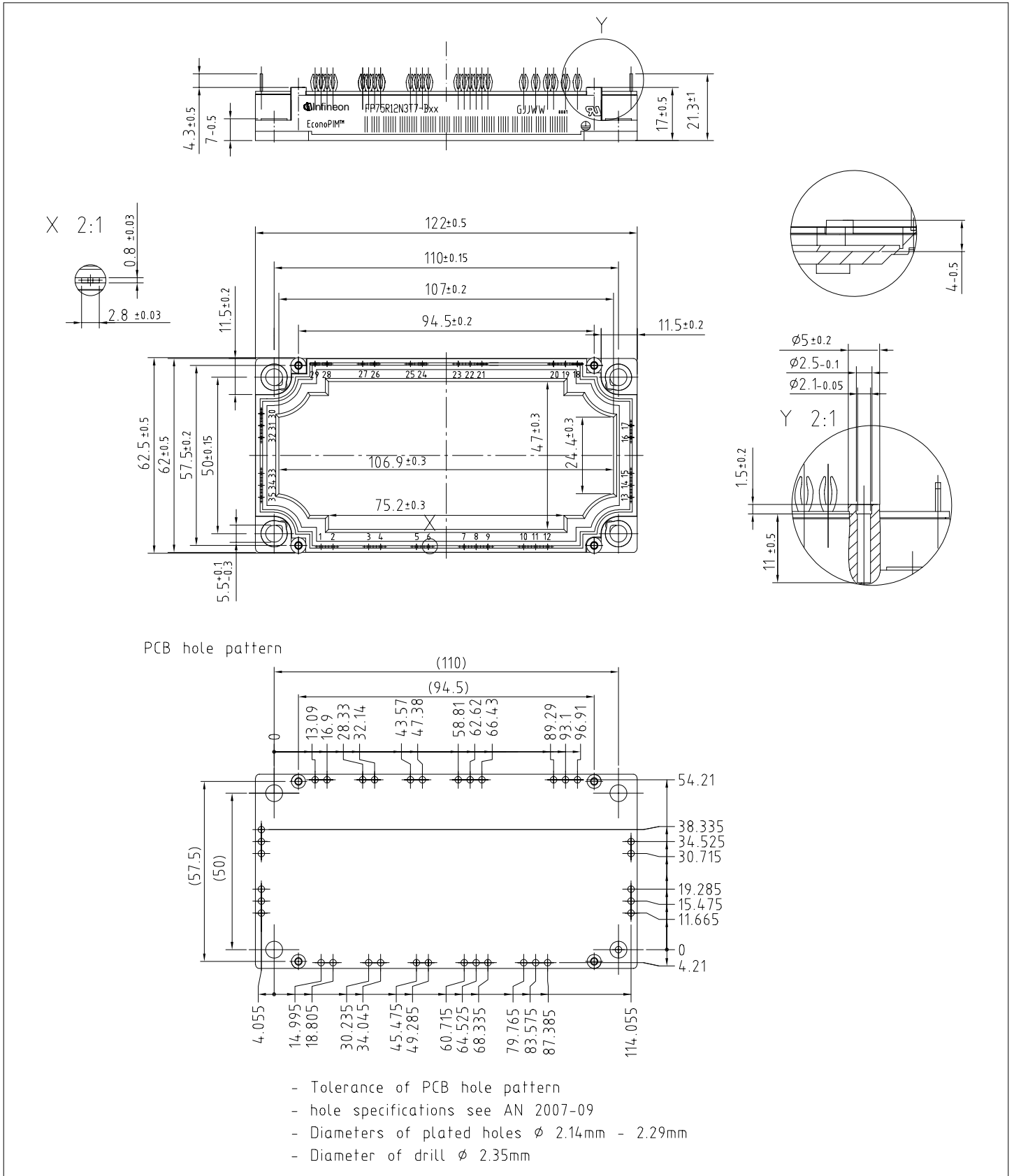


图 2

## 11 模块标签代码


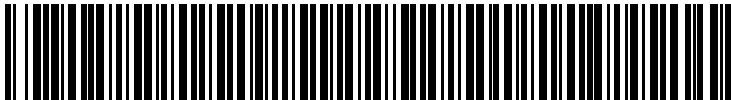
Module label code			
Code format	Data Matrix	Barcode Code128	
Encoding	ASCII text	Code Set A	
Symbol size	16x16	23 digits	
Standard	IEC24720 and IEC16022	IEC8859-1	
Code content	Content	Digit	Example
	Module serial number	1 - 5	71549
	Module material number	6 - 11	142846
	Production order number	12 - 19	55054991
	Date code (production year)	20 - 21	15
	Date code (production week)	22 - 23	30
Example	 		
	71549142846550549911530		71549142846550549911530

图 3

## 修订历史

修订版本	发布日期	变更说明
0.10	2021-12-23	Initial version
0.20	2022-03-02	Preliminary datasheet